

# Podstawy Sieci Neuronowych

WROCLAW UNIVERSITY OF SCIENCE AND TECHNOLOGY

WYDZIAŁ INFORMATYKI I TELEKOMUNIKACJI

---

## Ziarnko nadziei

---

### Rozpoznawanie ziarenek ryżu

18 grudnia 2024

**Prowadzący kurs:** Dr Inż. Aneta Górniak

**Autorzy:** Maria Raczkiewicz, Maksymilian Wiśniewski

**Zajęcia:** Poniedziałek 17:05

**Github:** [Ziarnko nadziei](#)



Wrocław  
University  
of Science  
and Technology



# 1 Wstęp

Celem projektu było zaprojektowanie, zaimplementowanie i wytrenowanie sztucznej sieci neuronowej, zdolnej do rozwiązania średniozaawansowanego problemu klasyfikacyjnego – rozpoznawania gatunków ryżu na podstawie obrazu. Realizacja projektu odbyła się w środowisku MATLAB, z wykorzystaniem narzędzi dostępnych w Deep Learning Toolbox. Do treningu i testowania modelu wykorzystano gotowy zbiór danych dostępny pod adresem: [Rice Image Dataset](#).

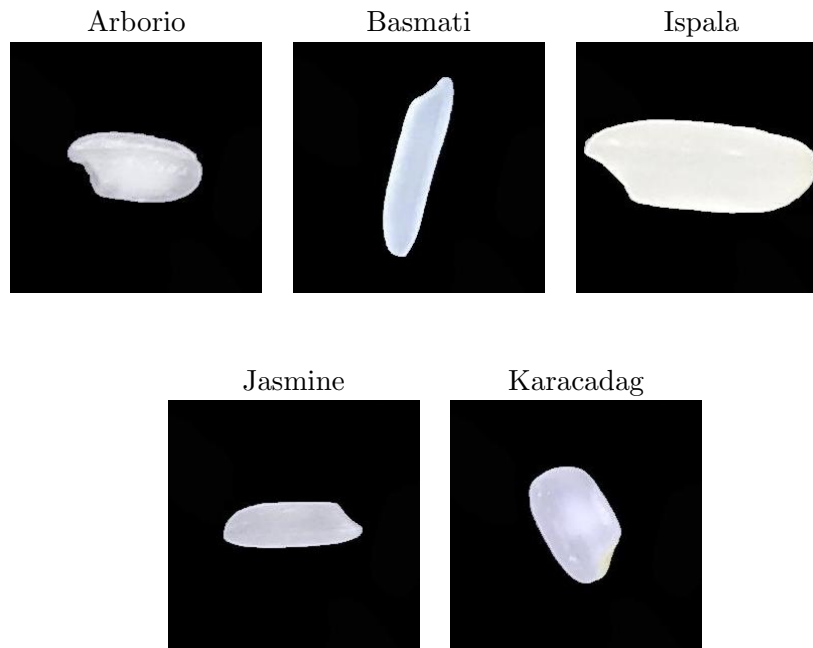


Tabela 1: Przykładowe obrazy z bazy

## 2 Przygotowania

### Analiza problemu i architektura

Obrazy wybranej bazy danych są bardzo czytelne dla sieci neuronowej, a zarazem ich zbiór jest stosunkowo duży bo mieszczący 15 tysięcy obrazów na kategorię. W związku z bazą obrazów początkową architekturą była CNN (Convolutional Neural Network), jednak z czasem architektura uległa zmianie na MLP (Multilayer Perceptron), o czym w dalszej części.

### Podział danych

Zbiór danych został podzielony na 4 kategorie:

Training	Validation	Testing	Play
70%	14%	15%	1%

Tabela 2: Podział danych

- Training - jest zbiorem wykorzystywanym do trenowania sieci i powinien być najliczniejszy
- Validation - odpowiada za weryfikację czy sieć nie dopasowała się nadmiernie do Training setu.

- Testing - zbiór służący do weryfikacji jakości z jaką nauczyła się sieć
- Play - mały zbiór stworzony do ewentualnego ręcznego testowania sieci na pojedynczych przykładach

### Przygotowanie danych

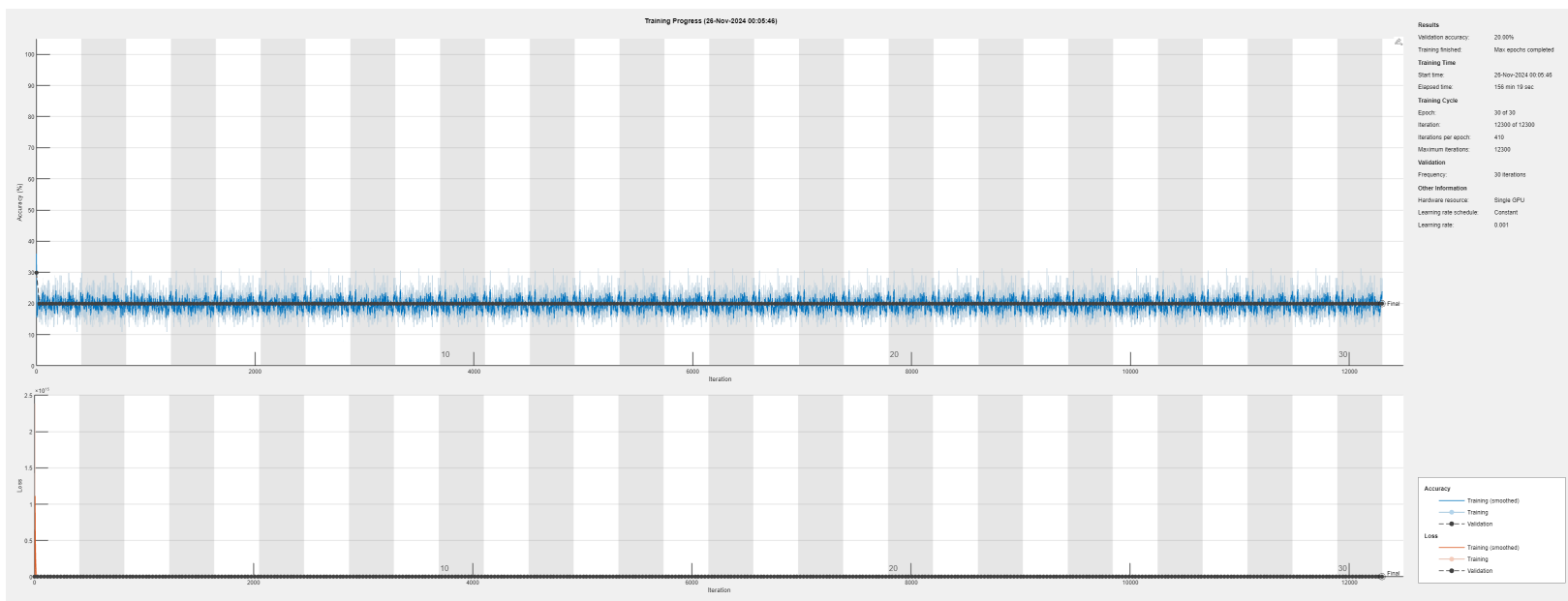
Obrazy same w sobie są bardzo korzystne dla sieci dzięki: stosunkowo wysokiej rozdzielczości (250x250), jednolitym kontrastowym tle oraz formacie w skali szarości. Gatunki różnią się głównie kształtem oraz stopniem przeźroczystości. Zdjęcia ponadto zostały wykonane w różnych orientacjach ziarenek z pozwoliło na większą uniwersalność sieci oraz wyklucza konieczność sztucznego obracania obrazem.

Baza została w pełni pobrana, następnie za pomocą metody `imageDatastore()` wprowadzona do programu zgodnie z podziałem na foldery które dzielą bazę na poszczególne gatunki. `categories(.Labels)` przydzieliło odpowiednie etykiety obrazom w folderach zgodnie z ich gatunkiem. `splitEachLabel()` podzieliło bazę na podzbiory w odpowiednich proporcjach oraz je przetasowało. Na koniec wykorzystując metody `im2gray()` pozbyto się z obrazów zbędnych pustych warstw kolorów w celu usprawnienia pracy sieci.

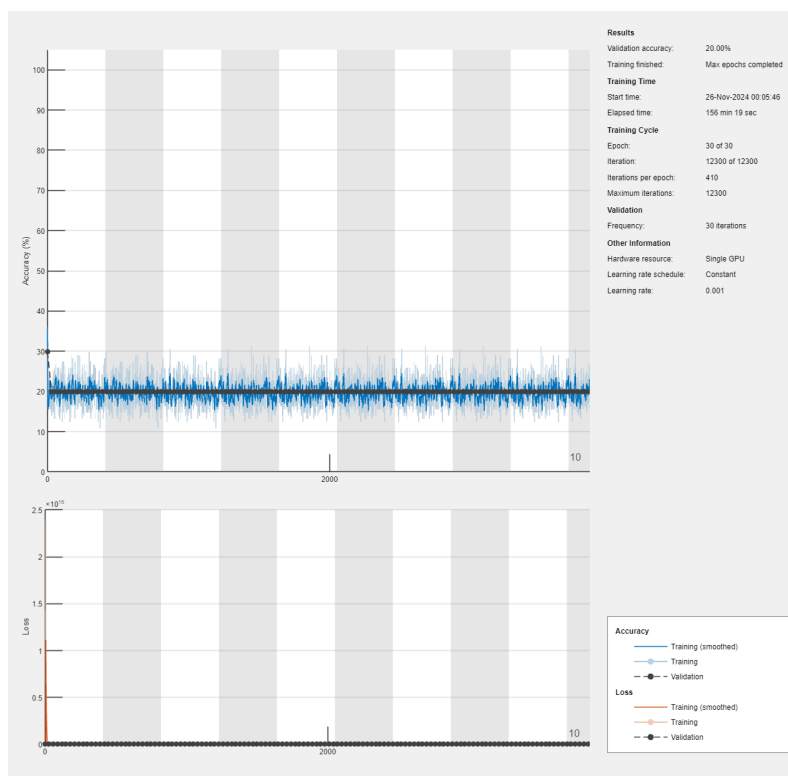
## 3 Badania

Domyślnie (chyba że opisano inaczej) używano optymalizatora *sgdm* (Stochastic Gradient Descent with Momentum) oraz funkcję aktywacji ReLU, której ilość była odpowiednio dostosowywana do zmieniającej się liczby warstw. Warstwa konwolucyjna zawsze z akompaniamentem `maxPoolingLayer` oraz z ustawieniami: `convolution2dLayer(3, 32, "Padding", 0)` i `maxPooling2dLayer(5, 'Stride', 3)` Jako zasób sprzętowy do trenowania sieci wybrano kartę graficzną, korzystano z modelu NVIDIA GeForce RTX 3070.

Początkowo sieć była testowana dość eksperymentalnie i nieefektywnie, zdecydowano się na dużą ilość epok - 30, wysoki (w kontekście badanej sieci) współczynnik uczenia - 0.001 (1lr), jedną warstwę konwolucyjną (Conv), dwie warstw w pełni połączone (Fcl).



Rysunek 1: Wykres dla  $\text{llr}=0.001$ , 1xConv i 2xFcl(256 i 5).

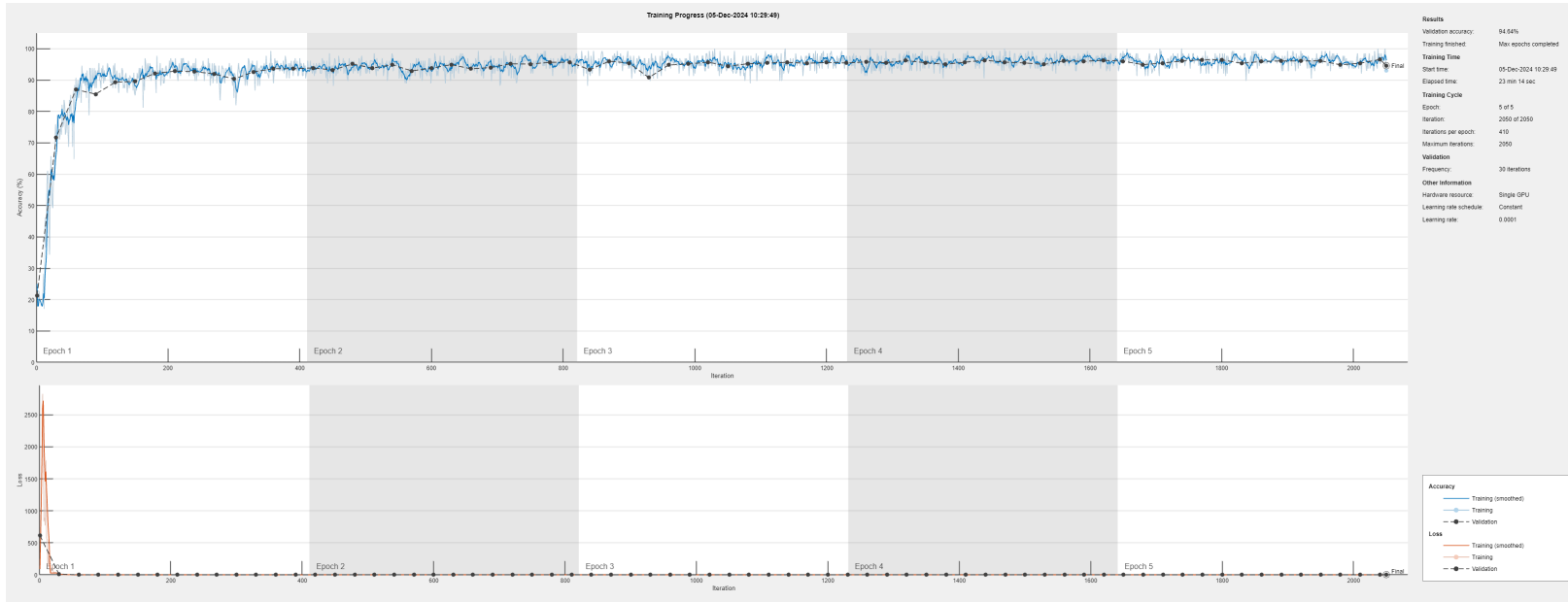


Rysunek 2: Powiększenie Rysunku 1.

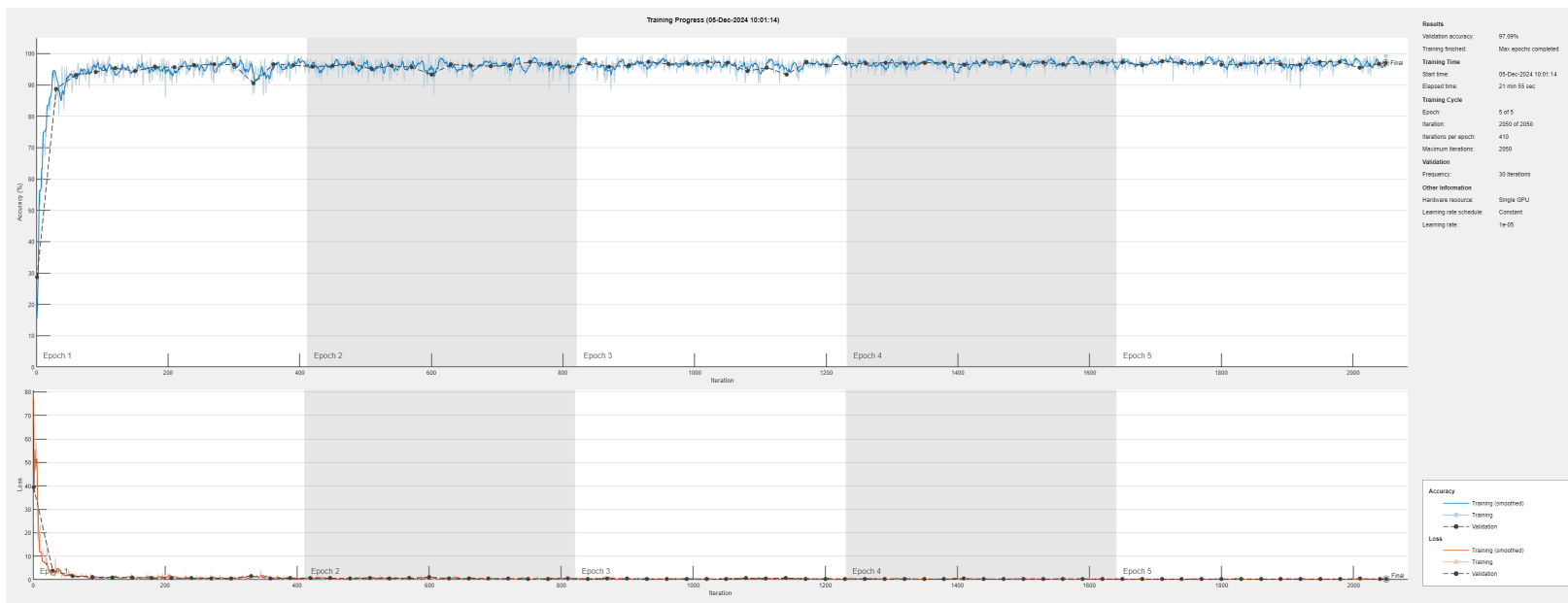
Na przedstawionych wykresach można zauważyć, że sieć neuronowa nie uczyła się - dokładność utrzymywała się na stałym poziomie 20%, a charakterystyka wykresu powtarzała się cyklicznie w każdej epoce. Przyczyną tego problemu był zbyt wysoki współczynnik uczenia się, który uniemożliwił

modelowi skuteczną aktualizację wag.

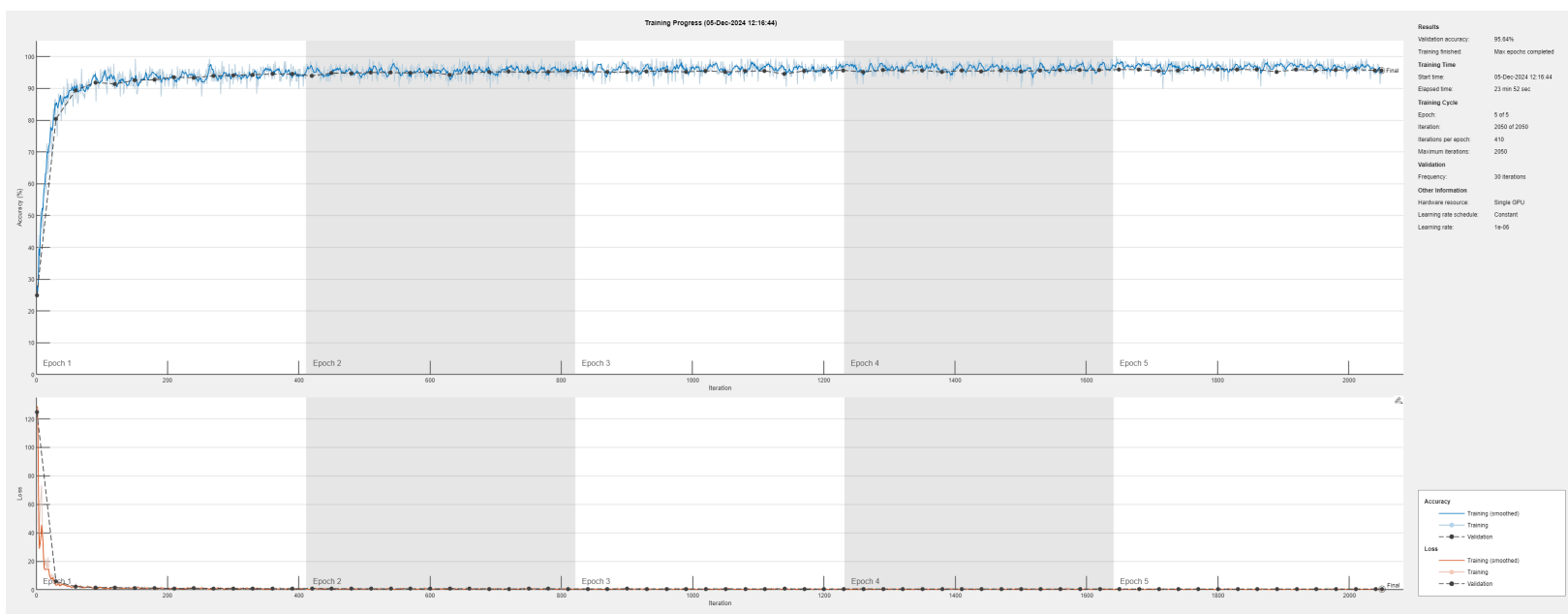
W następnych testach zrezygnowano z architektury CNN i skupiono się jedynie na MLP, w celu znalezienia najlepszego współczynnika uczenia. Badania na poniższych obrazach przeprowadzano na trzech w pełni połączonych warstwach o liczbie neuronów ukrytych odpowiednio wynoszących 512, 256 oraz 5, jedynym modyfikowanym parametrem był współczynnik uczenia. W opisie obrazu przedstawiono dokładność modelu uzyskaną na zbiorze testowym.



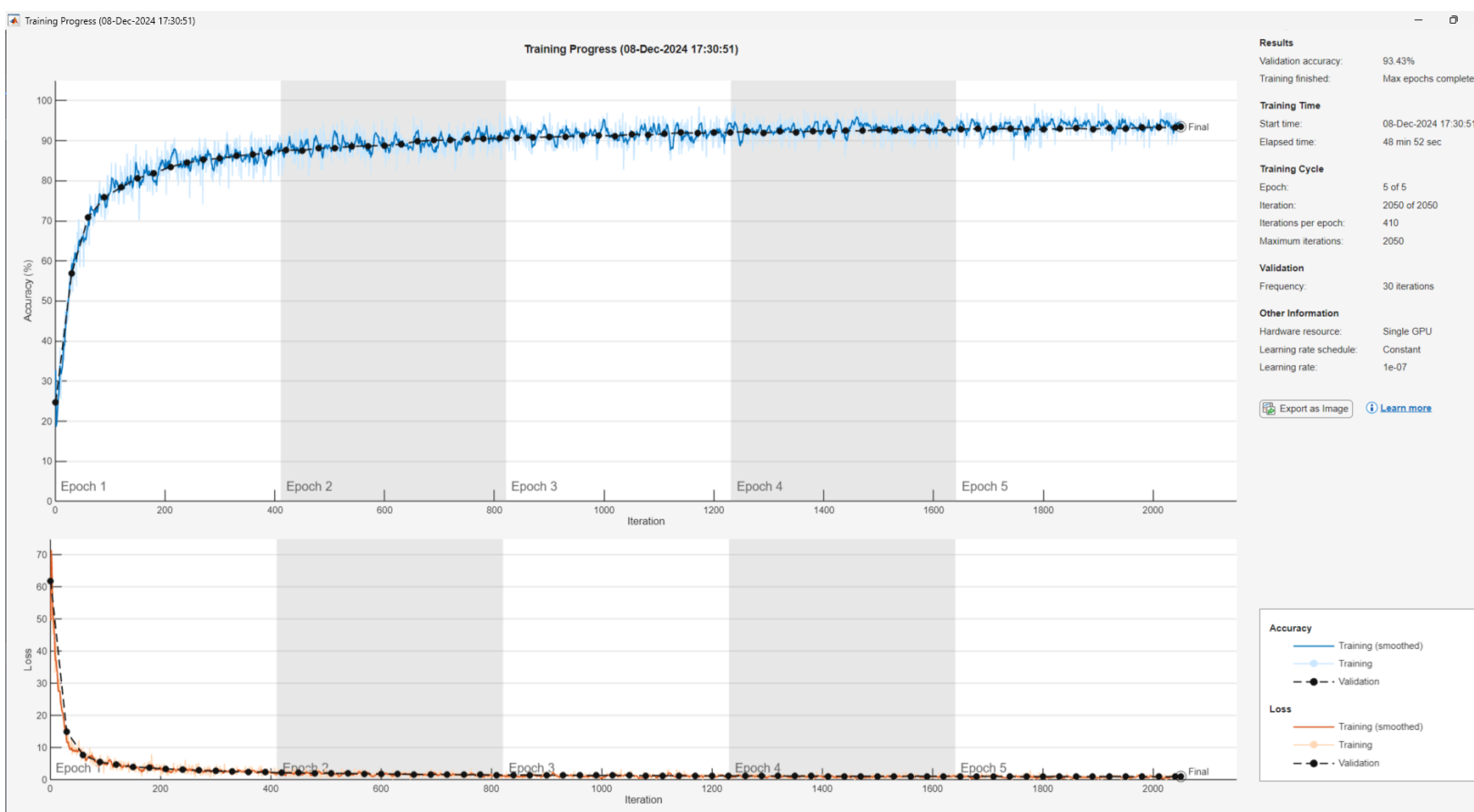
Rysunek 3: Wykres dla  $l_r=1e-04$ , dokładność: 94.92%.



Rysunek 4: Wykres dla  $l_r=1e-05$ , dokładność: 96.72%.

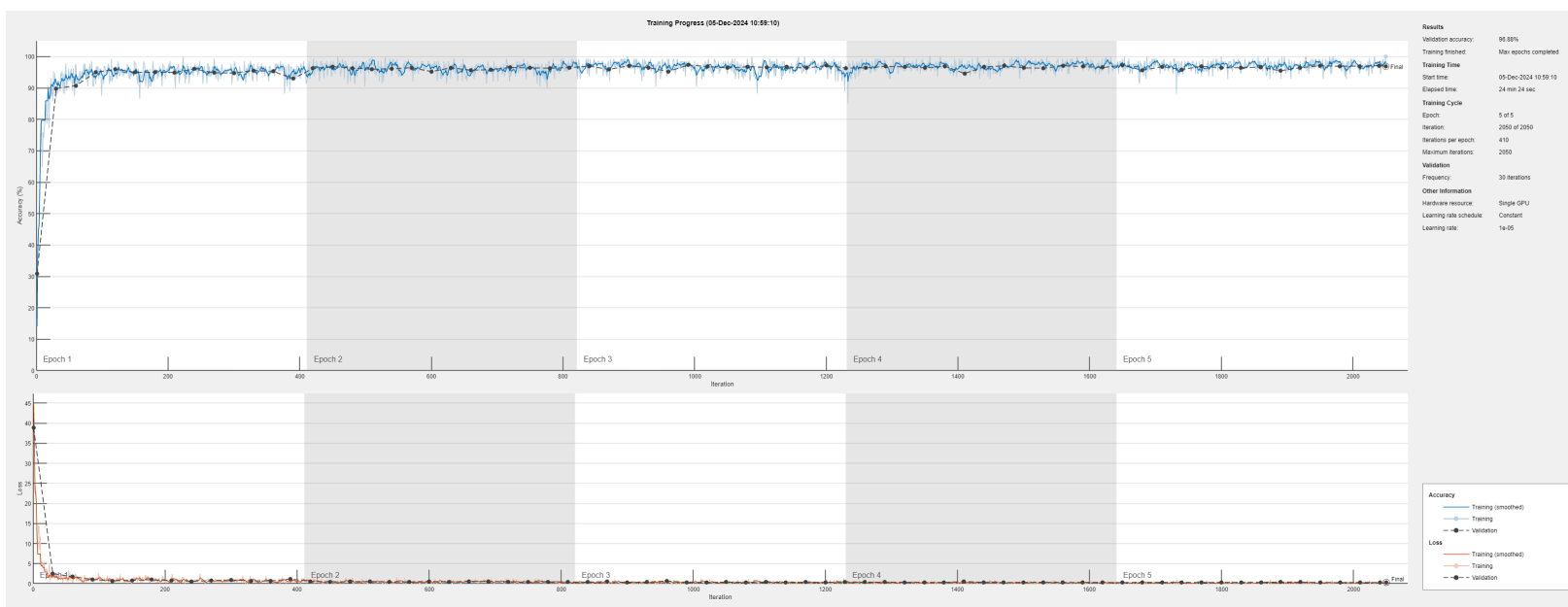


Rysunek 5: Wykres dla  $l_{lr}=1e-06$ , dokładność: 95.83%.

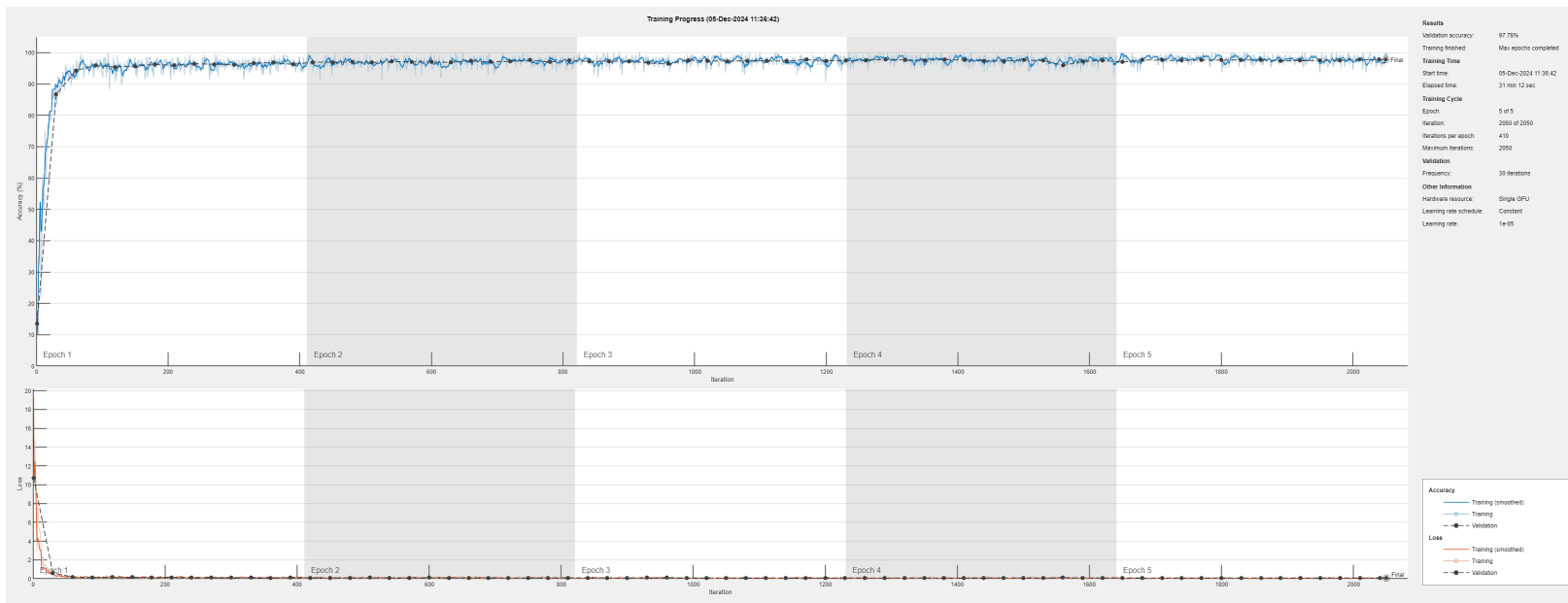


Rysunek 6: Wykres dla  $l_{lr}=1e-07$ , dokładność: 93.12%.

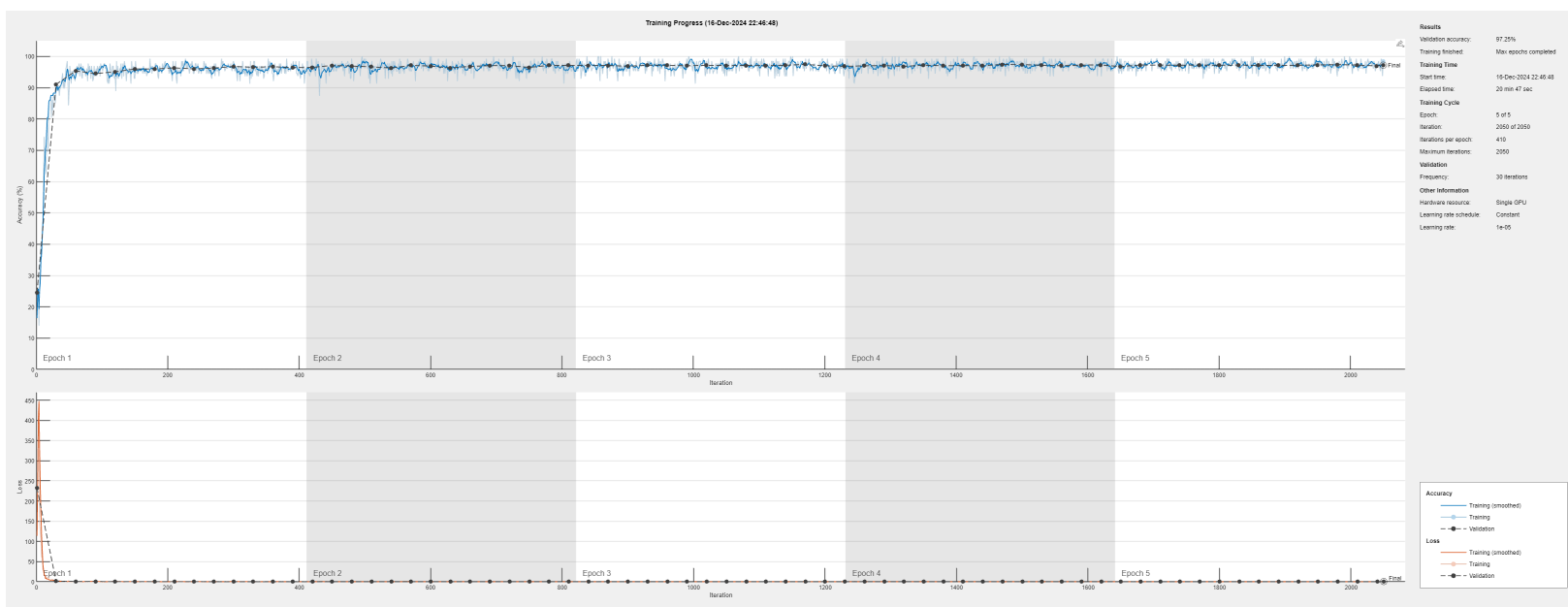
Najwyższą dokładność uzyskano na wykresie 4, gdzie współczynnik uczenia wynosił  $10^{-5}$ .  
W kolejnym etapie testowano różne konfiguracje warstw dla tych samych ustawień treningowych sieci.



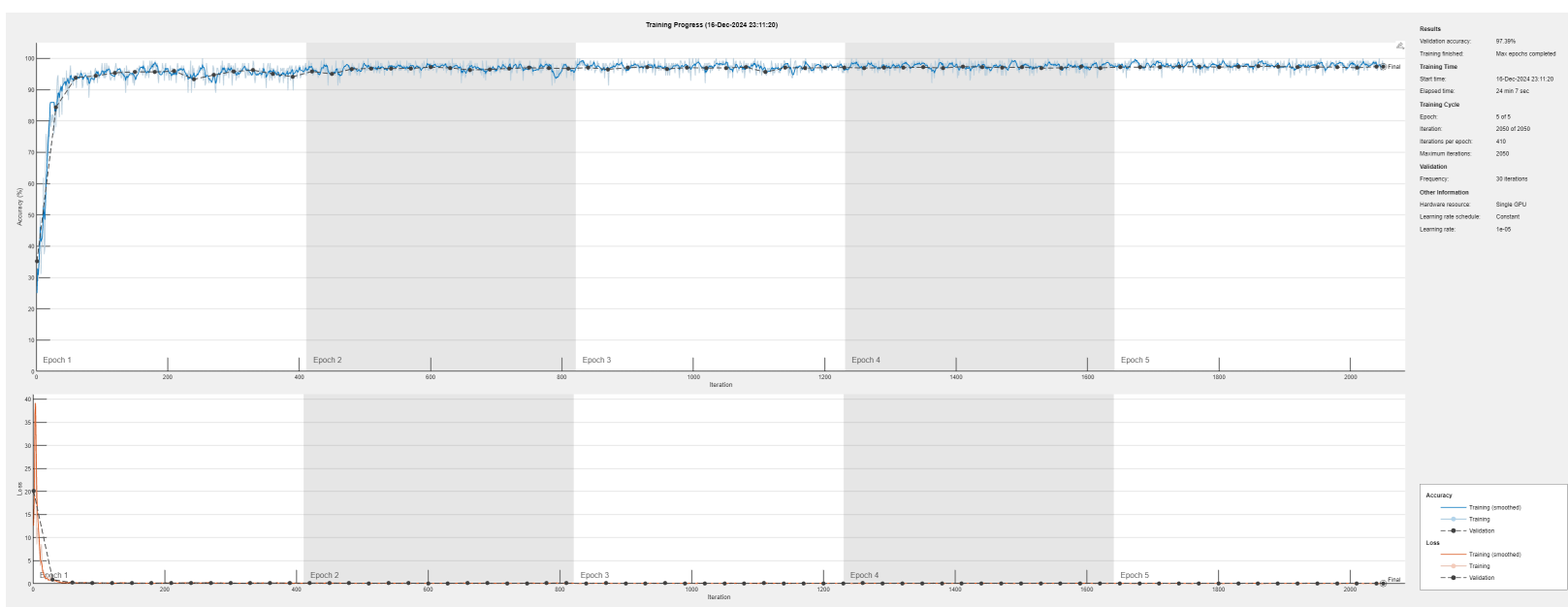
Rysunek 7: Wykres dla 4 warstw FcI (1024, 512, 256, 5), dokładność: 96.98%.



Rysunek 8: Wykres dla 4 warstw FcI (1024, 512, 256, 5) i Conv, dokładność: 93.40%.



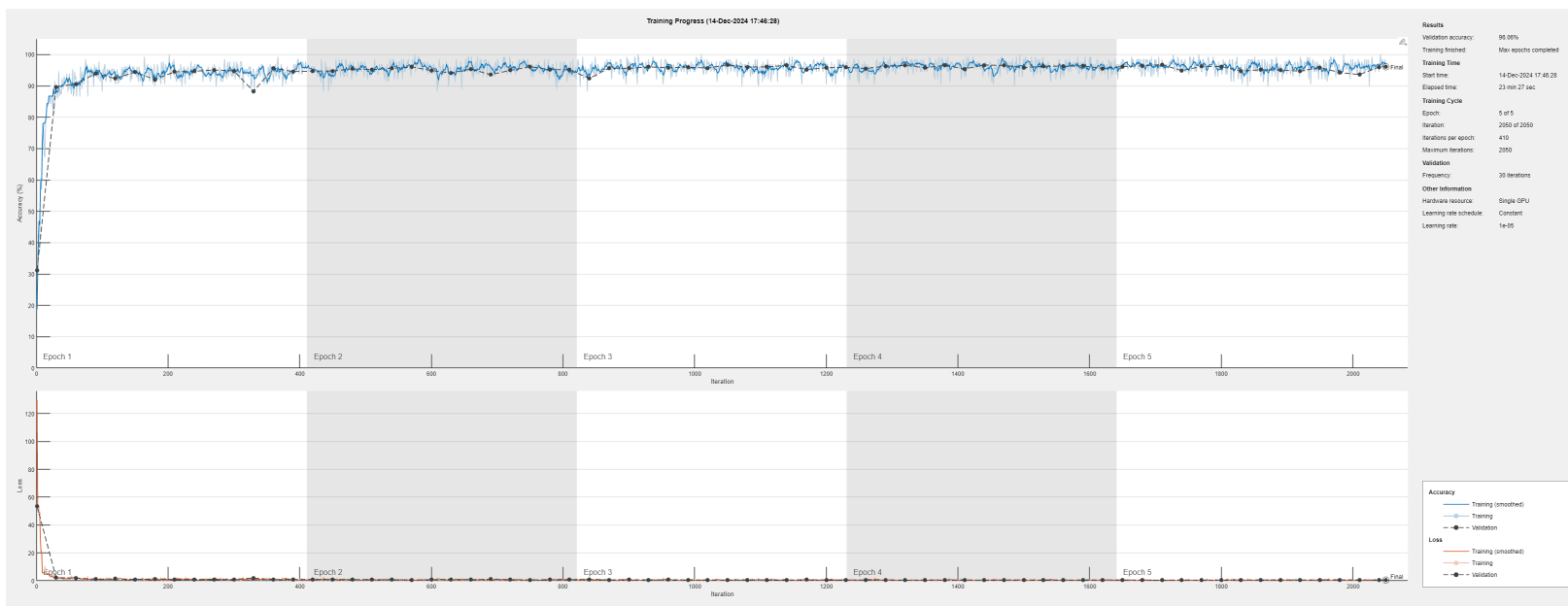
Rysunek 9: Wykres dla 2 warstw Fc (256, 5), dokładność: 96.82%.



Rysunek 10: Wykres dla 2 warstw Fc (256, 5) oraz Conv, dokładność: 97.44%.

Zmieniono ustawienia treningowe sieci na tryb *adam* (Adaptive Moment Estimation) oraz by porównać z trybem *sgdm*, użyto 3 warstw w pełni połączonych (512, 256, 5) oraz współczynnika uczenia 10–5 tak jak przy testach na *Rysunek 4*.



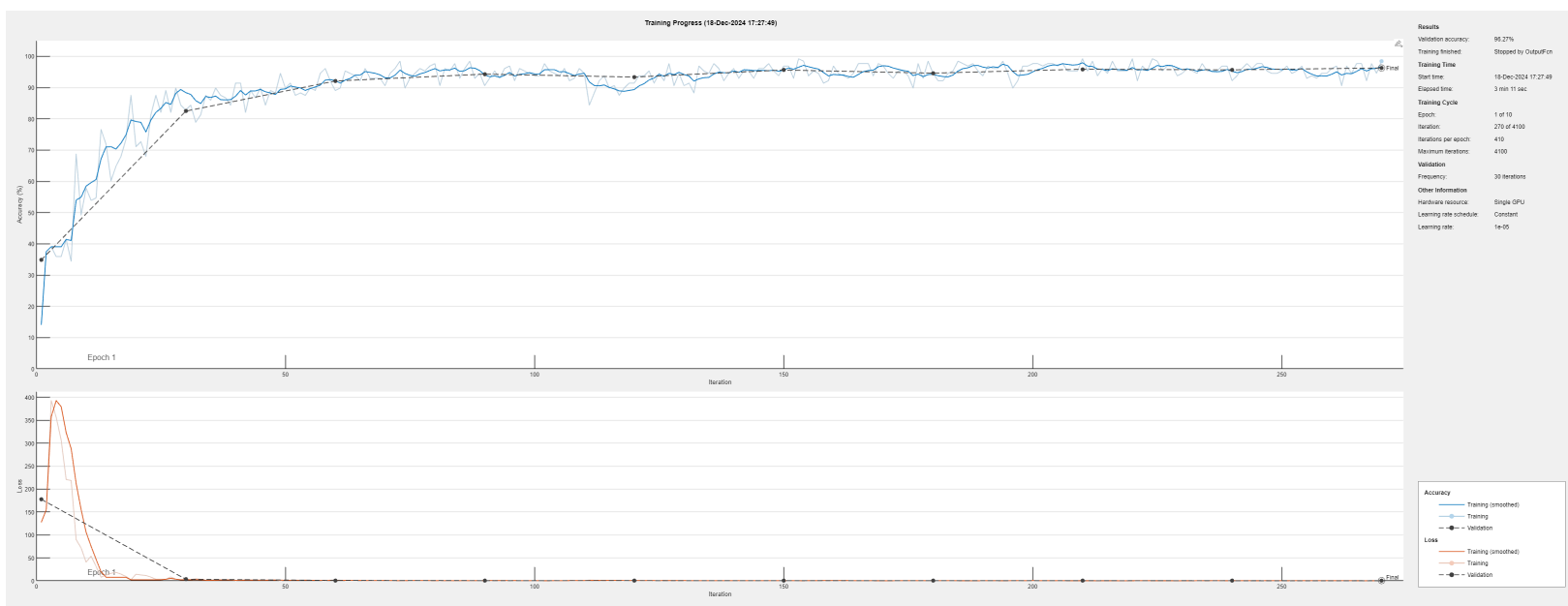


Rysunek 11: Wykres tryb *adam* dla 3 warstw Fcl (512, 256, 5), dokładność: 96.24%.

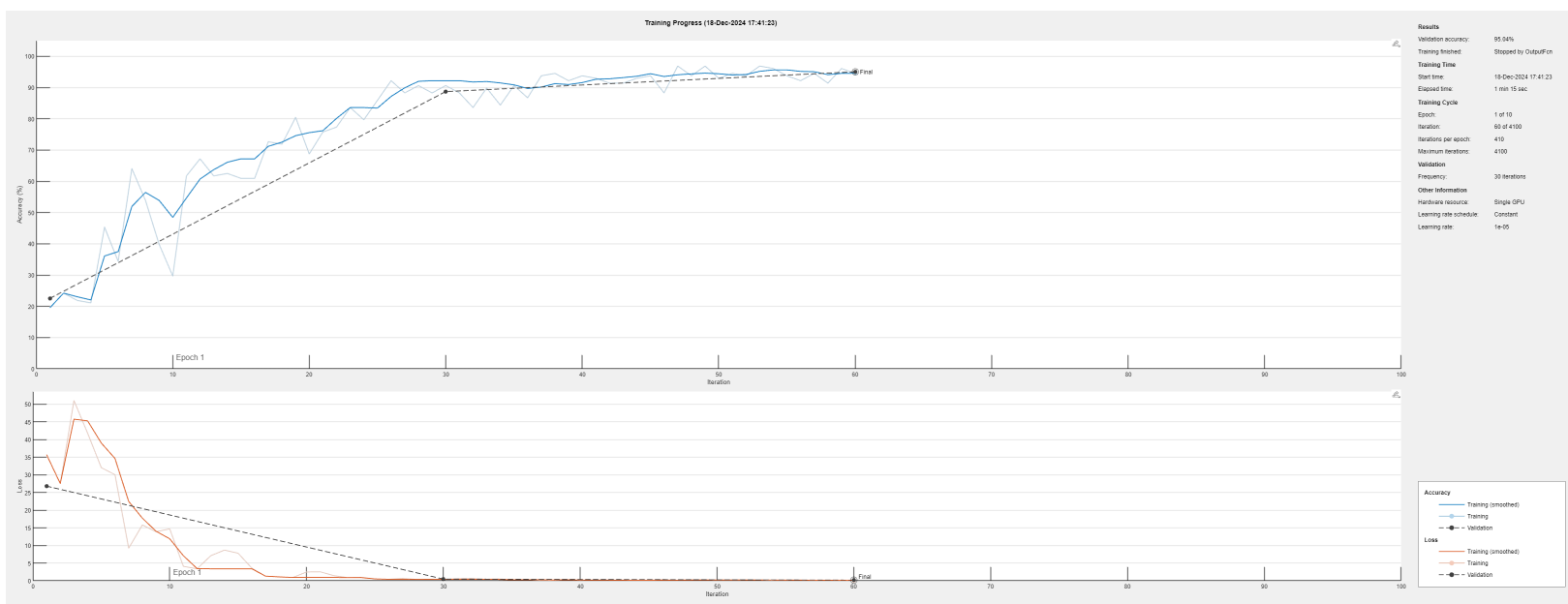
Oba tryby osiągnęły bardzo podobne dokładności *sgdm* - 96.72%, *adam* - 96.24%, przy czym *sgdm* był o 2 minuty szybszy.

Optymalizator *adam* cechuje się mniejszą stabilnością ponieważ dostosowuje współczynnik uczenia się dla każdego parametru, śledząc zarówno średnią wartość gradientów, jak i ich wariancję. *Sgdm* cechuje się większą stabilnością dzięki mechanizmowi momentu, który pozwala na wygładzenie zmian gradientu i przyspieszenie procesu uczenia, dodatkowo, w przeciwieństwie do Adama, współczynnik uczenia jest stały dla wszystkich parametrów, co sprawia, że optymalizacja jest bardziej przewidywalna. Analizując wykresy można zauważyć, że w epoce 5 na *Rysunek 10* widać wyraźniejsze wahania dokładności niż w *Rysunek 4*.

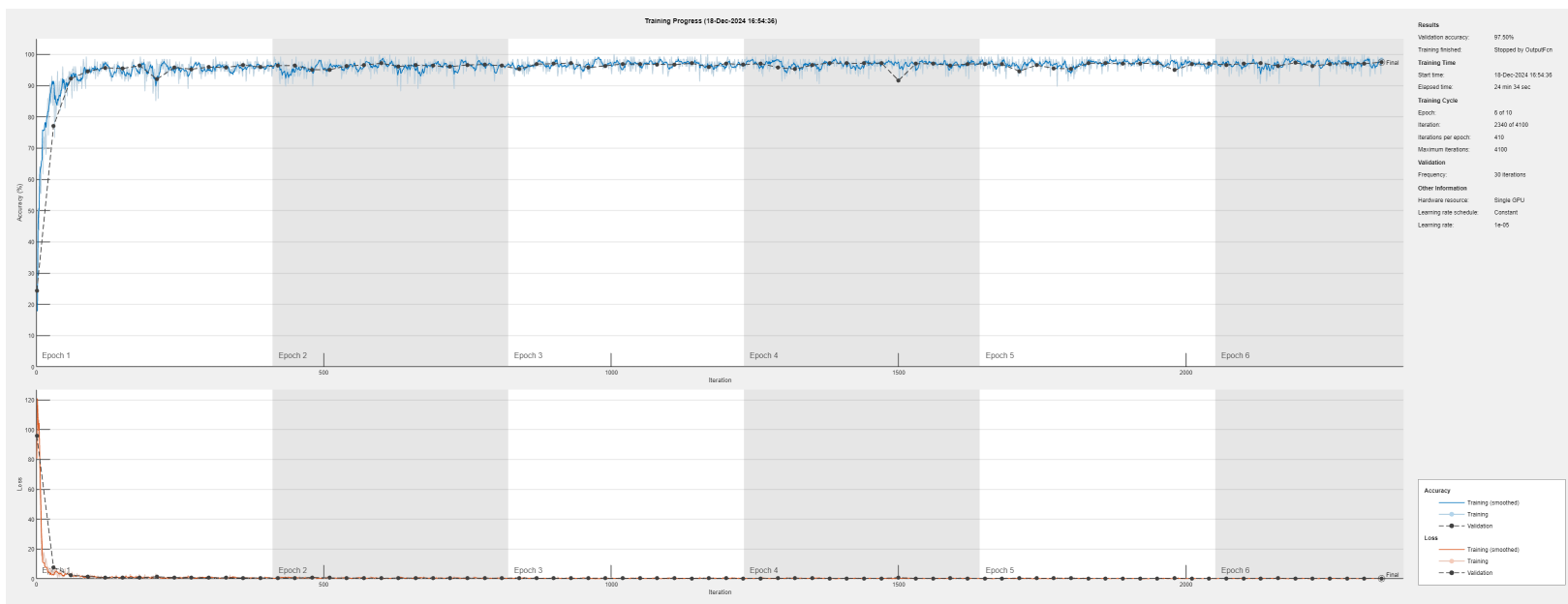
Do ustawień treningowych dodano funkcję stopu oraz wbudowaną opcję *ValidationPatience*, w celu określenia ilości epok po jakiej model przestaje wykazywać znaczący postęp w optymalizacji. W związku z tym, że używana jest warstwa *softmaxLayer* oraz *classificationLayer*, funkcją strat jest cross-entropia, która jest przeznaczona do problemów klasyfikacyjnych. Funkcja stopy zatrzymuje trening gdy sieć osiągnęła minimalne straty podczas walidacji wynoszące 0.25 (threshold), opcja *ValidationPatience* określa ile razy wartość strat walidacji może być mniejsza lub równa najlepszej poprzedniej wartości nim trening zostanie zatrzymany, ustawiona na 8. Testy przeprowadzono dla trzech najlepiej radzących sobie konfiguracji sieci - 2Fcl, 2Fcl i Conv, 3Fcl. Dla lepszej wizualizacji wyników stworzono macierz trafień.



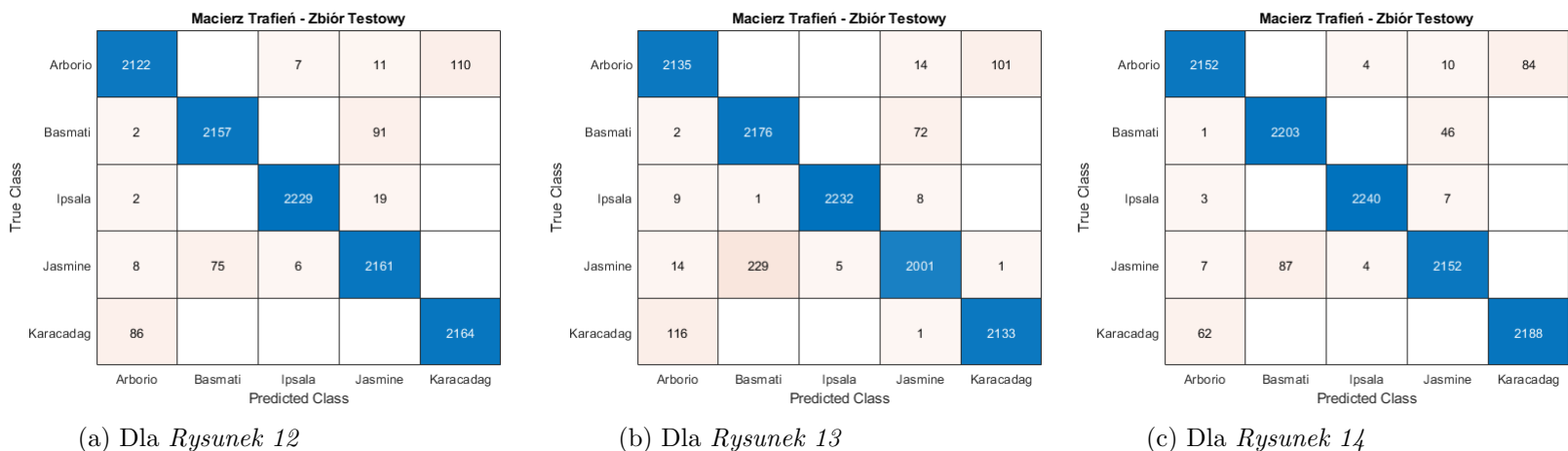
Rysunek 12: Wykres dla 2 warstw Fc1 (256, 5), dokładność: 96.29%.



Rysunek 13: Wykres dla 2 warstw Fc1 (256, 5) i Conv, dokładność: 94.90%.

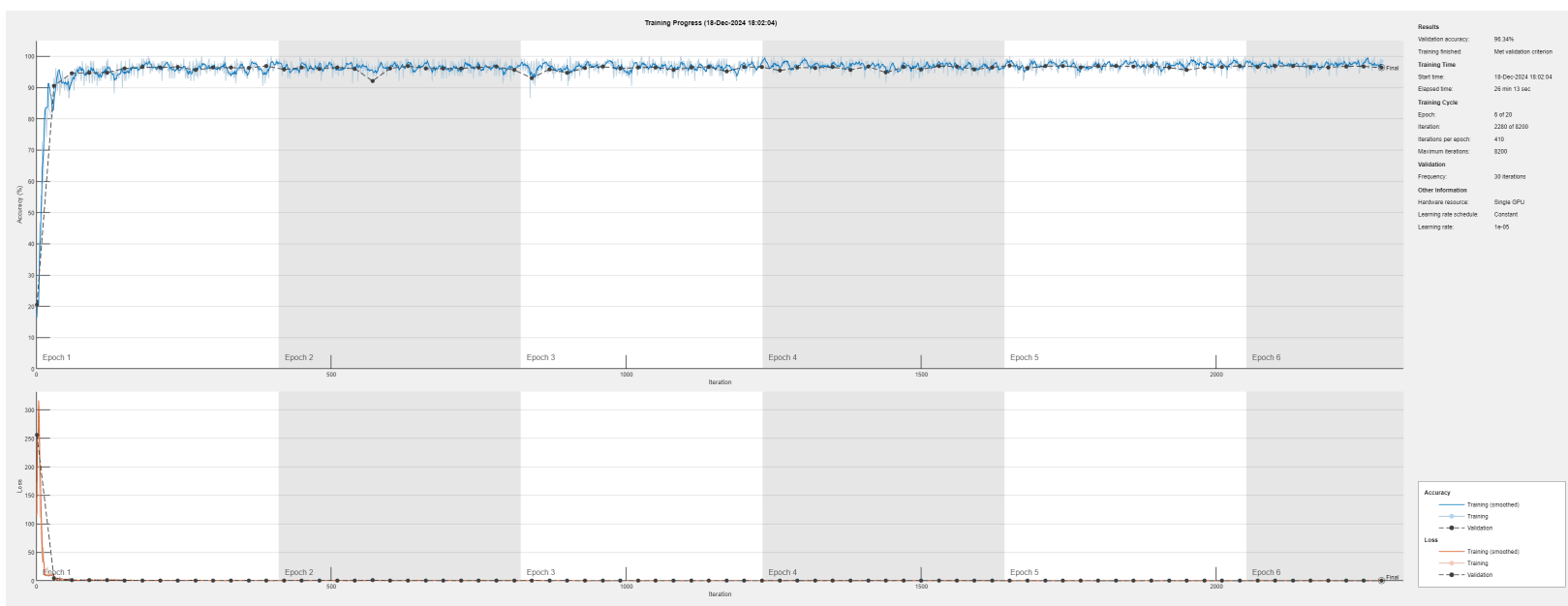


Rysunek 14: Wykres dla 3 warstw FcI (512, 256, 5), dokładność: 97.20%.

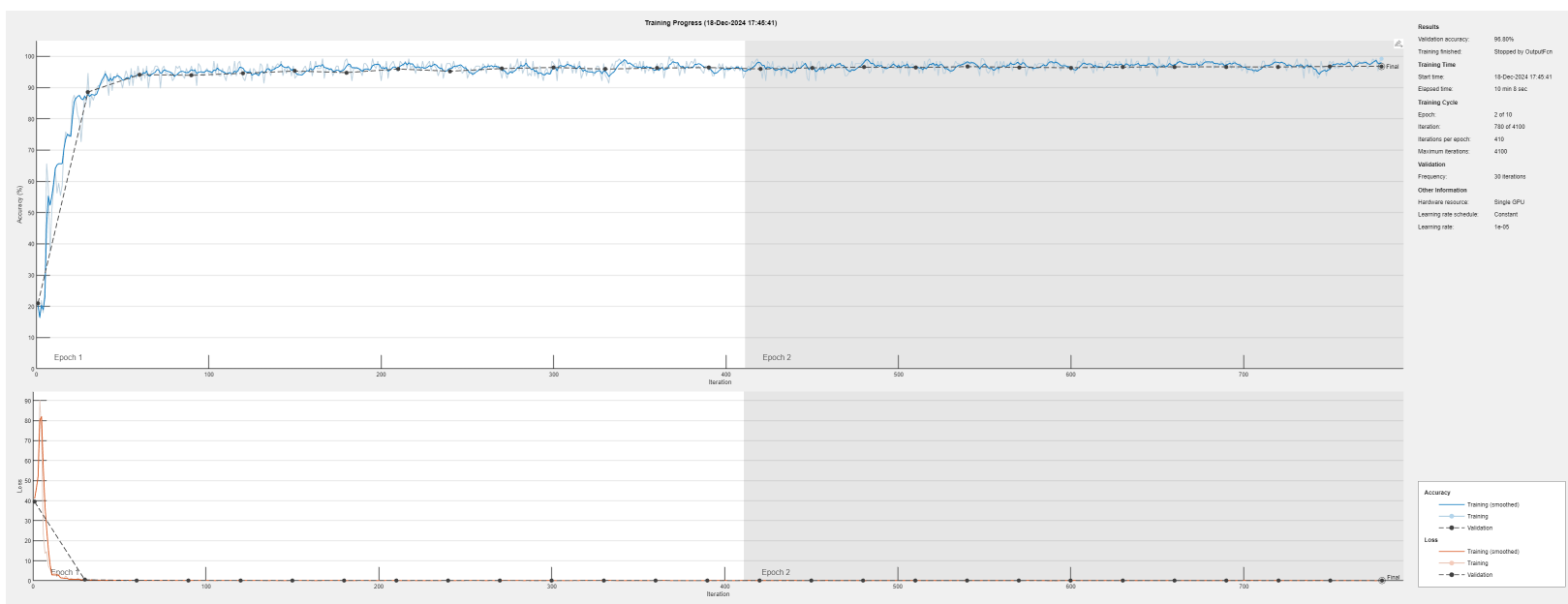


Rysunek 15: Macierze trafień

Threshold funkcji stop był za wysoki dla konfiguracji sieci z Rysunek 12 oraz Rysunek 13, dlatego po dalszych obserwacjach wartości strat, zmniejszono jego wartość do 0.1.



Rysunek 16: Wykres dla 2 warstw Fc1 (256, 5), dokładność: 96.72%.



Rysunek 17: Wykres dla 2 warstw Fc1 (256, 5) oraz Conv, dokładność: 97.18%.

Macierz Trafień - Zbiór Testowy					
True Class	Arborio	Basmati	Ipsala	Jasmine	Karacadag
	2183			8	59
		2171		79	
	2		2239	9	
	6	50	9	2185	
	95				2155
Predicted Class					

(a) Dla *Rysunek 17*

Macierz Trafień - Zbiór Testowy					
True Class	Arborio	Basmati	Ipsala	Jasmine	Karacadag
	2047		1	9	193
		2184		66	
	4		2239	7	
	3	56	2	2189	
	28				2222
Predicted Class					

(b) Dla *Rysunek 18*

Rysunek 18: Macierze trafień

## 4 Podsumowanie i wnioski

- Zmniejszenie współczynnika uczenia z  $10^{-3}$  do  $10^{-5}$  znacznie poprawiło wyniki.
- Dodanie przetasowania zbioru co każdą epokę pomogło zniwelować okresowość widoczną na *Rysunek 1*.
- Dodanie warstwy konwolucyjnej znacząco przyspiesza progress sieci, straty szybciej maleją co wyraźnie widać porównując *Rysunek 16* oraz *Rysunek 17*. Wynika to prawdopodobnie nie z dodania samej warstwy konwolucyjnej, ale warstwy maxPooling2dLayer, która zmniejsza obraz, dzięki czemu sieć skupia się na analizie ziarenka, a nie dodatkowo tła.
- Format obrazów może znacząco uprościć proces nauczania sieci, wybrana baza pozwoliła potraktować obrazy jak dane czysto liczbowe.
- Sieć już w drugiej epoce osiąga zadowalające wyniki
- Zmiana trybu z *sgdm* na *adam* nie dokonała dużych zmian. Zastosowanie Adama i obserwacja wyników w pierwszych testach sieci może pozwolić na wybranie najlepszego współczynnika uczenia.
- Najlepszą konfiguracją sieci są dwie warstwy Fcl o liczbie neuronów 256 i 5 oraz jedna warstwa konwolucyjna z maxPooling2dLayer z współczynnikiem uczenia  $10^{-5}$ .
- Odpowiednie dostosowanie threshold dla funkcji zatrzymującej pozwolić uniknąć przeuczenia, jednak zbyt wysoka wartość może wstrzymywać postęp. Zastosowanie opcji ValidationPatience zatrzymuje sieć w przypadku nie możliwości osiągnięcia zadowalającej jakości, dzięki czemu nie marnujemy mocy obliczeniowej urządzenia.